

Fig. 4-18 90T 在經過  $1500^\circ\text{C}/6\text{hr}/\text{Ar}$  热處理後之(a) $\text{Y}_2\text{Ti}_2\text{O}_7$ 與 $\alpha$ -Ti共存之明視野影像(BFI);(b)  $\text{Y}_2\text{Ti}_2\text{O}_7$ 之EDS分析光譜;(c)  $\alpha$ -Ti之EDS分析光譜;(d)  $\text{Y}_2\text{Ti}_2\text{O}_7$ 之SADP, Z. A. =  $[111]$ ;(e)  $\text{Y}_2\text{Ti}_2\text{O}_7$ 之SADP, Z. A. =  $[011]$ ;(f)  $\alpha$ -Ti之SADP, Z. A. =  $[011\bar{1}1]$ 。

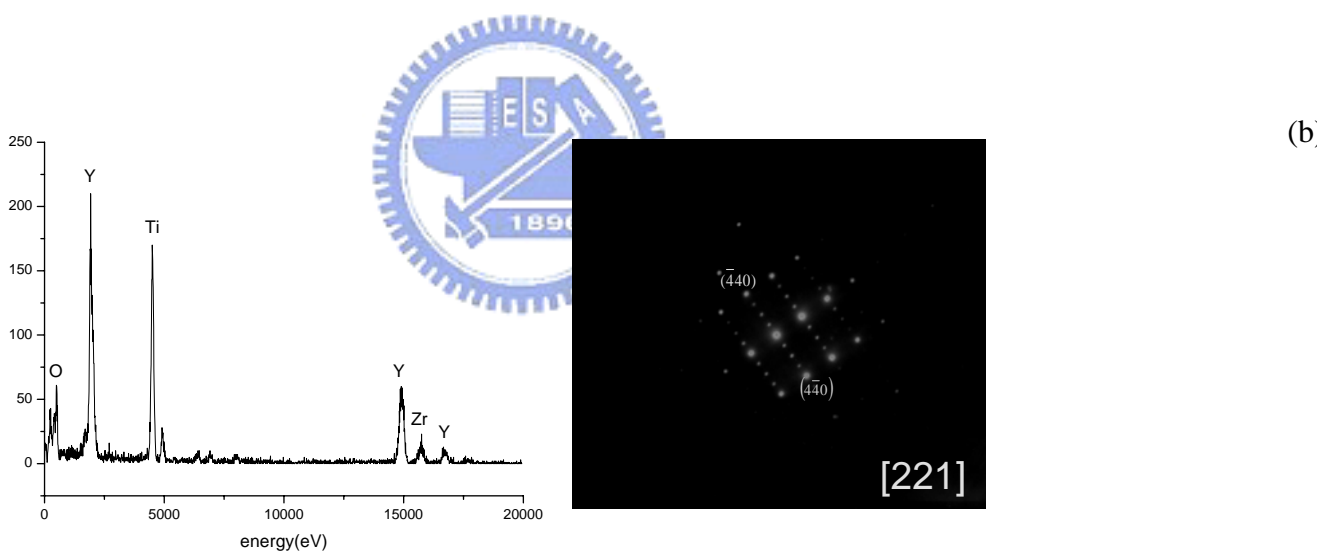
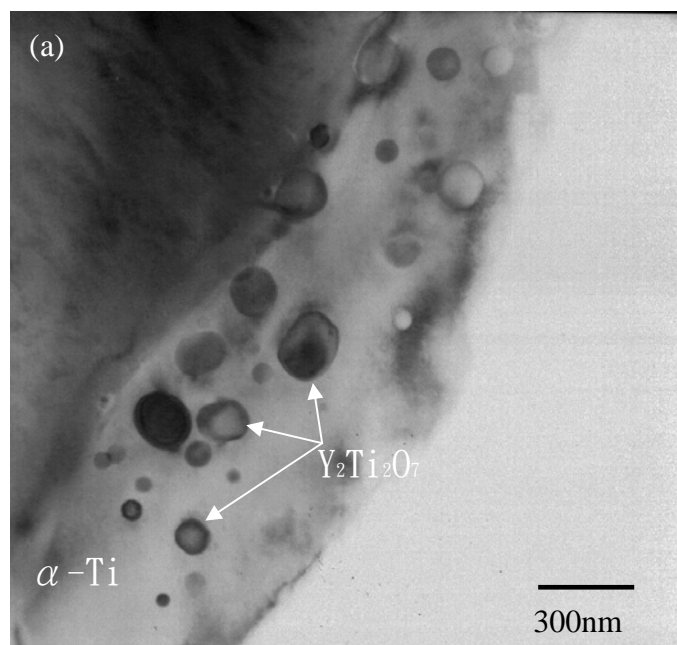


Fig. 4.19 90T在經過  $1500^{\circ}\text{C}/6\text{hr}/\text{Ar}$  热處理後之(a)  $\text{Y}_2\text{Ti}_2\text{O}_7$  與  $\alpha\text{-Ti}$  共存之明視野影像(BFI);(b)  $\text{Y}_2\text{Ti}_2\text{O}_7$  之EDS分析光譜;(b)  $\text{Y}_2\text{Ti}_2\text{O}_7$  之SADP, Z. A. = [221]。

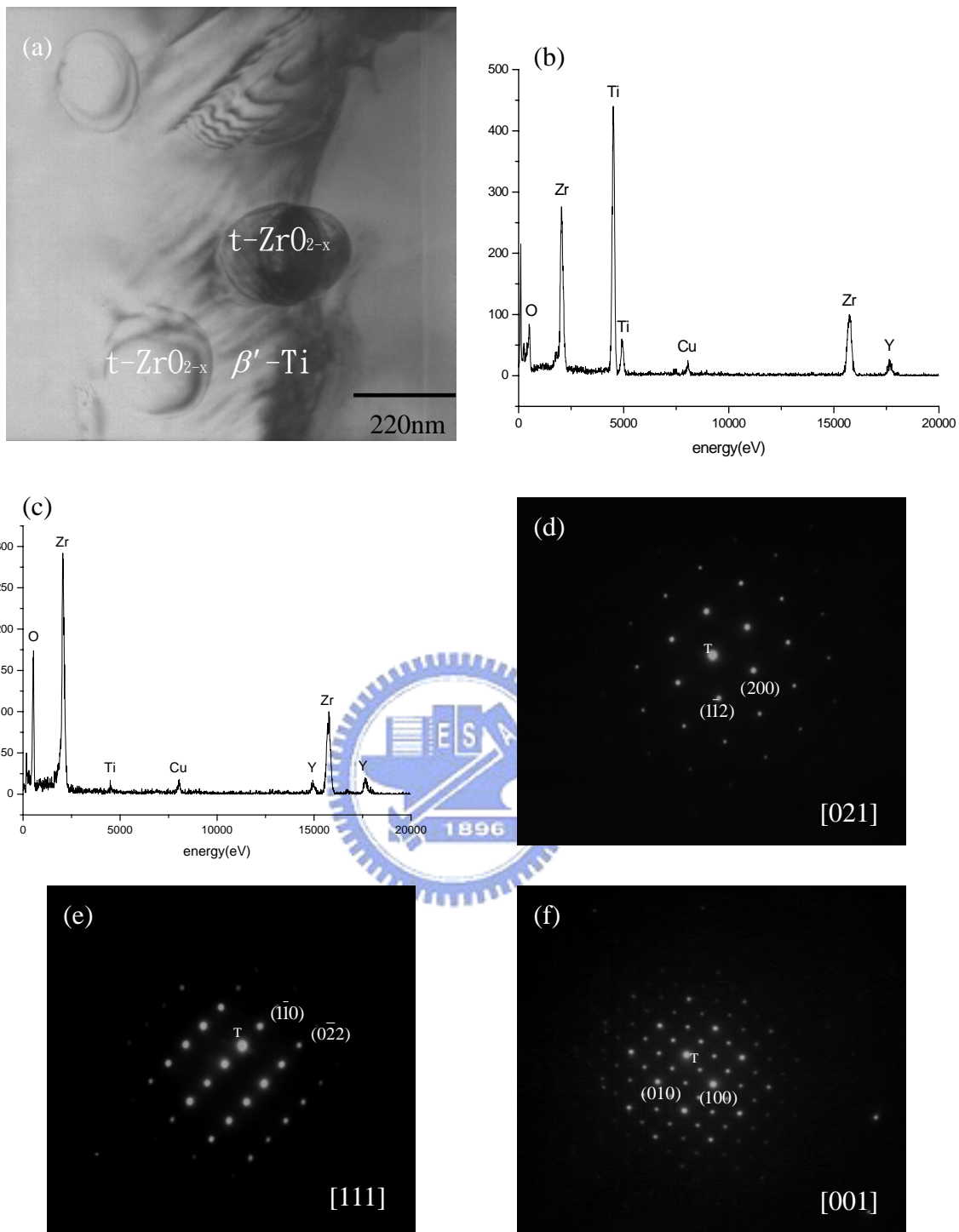


Fig. 4-20 90T在經過  $1400^{\circ}\text{C}/6\text{hr}/\text{Ar}$  热處理後之(a)  $\beta'$ -Ti與 $\text{t-ZrO}_{2-\text{x}}$ 共存之明視野影像(BFI);(b)  $\beta'$ -Ti 之EDS分析光譜;(c) $\text{t-ZrO}_{2-\text{x}}$ 之EDS 分析光譜 (d)  $\beta'$ -Ti 之 SADP, Z. A. = [021];(e)  $\beta'$ -Ti 之 SADP, Z. A. = [111];(f) $\text{t-ZrO}_{2-\text{x}}$ 之SADP, Z. A. = [001]。

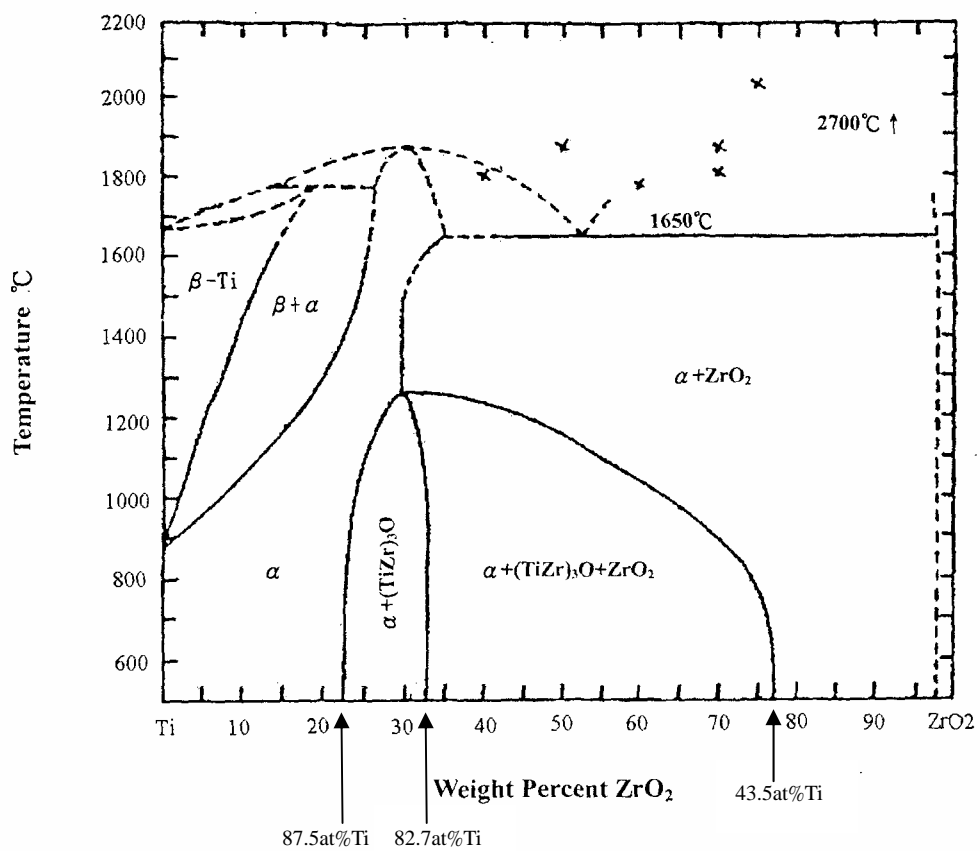


Fig. 4-21 Domagala et al. 所提出Ti-ZrO<sub>2</sub>相圖

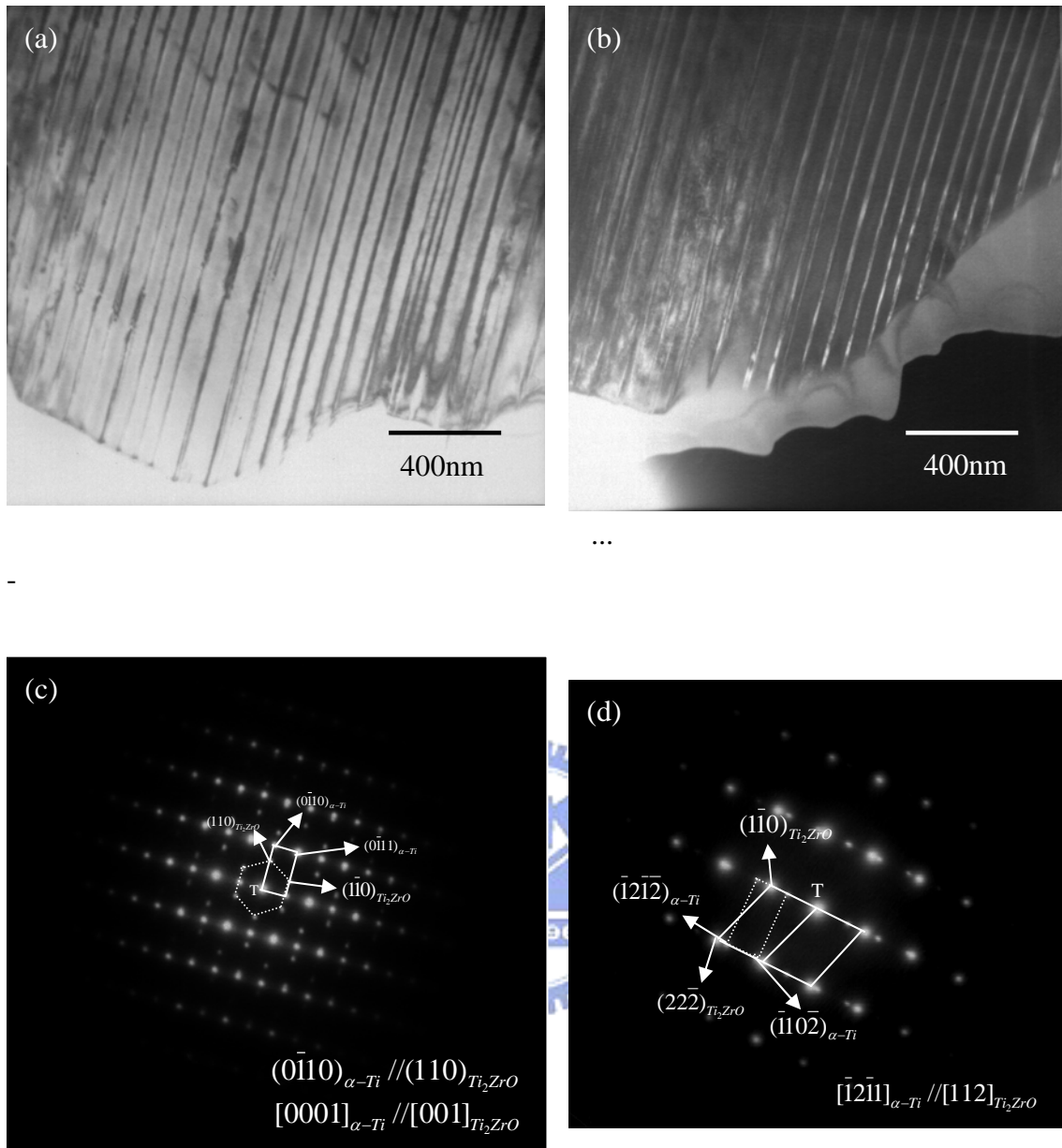


Fig. 4-22 90T在經過  $1400^{\circ}C / 6hr / Ar$  热處理後之(a)  $Ti_2ZrO$  自  $\alpha$ -Ti 基地中析出之明視野影像(BFI);(b)  $Ti_2ZrO$  自  $\alpha$ -Ti 基地中析出之暗視野影像(DFI);(c)  $Ti_2ZrO$  自  $\alpha$ -Ti 基地中析出之SADP, Z. A. =  $[0001]_{\alpha-Ti} // [001]_{T_2ZrO}$  ;(d)  $Ti_2ZrO$  自  $\alpha$ -Ti 基地中析出之SADP, Z. A. =  $(\bar{1}2\bar{1}1)_{\alpha-Ti} // (112)_{T_2ZrO}$

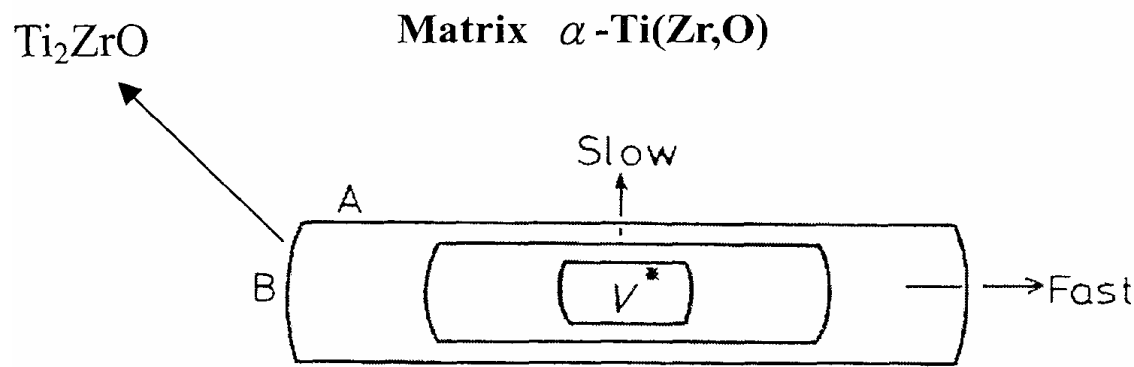


Fig. 4-23 不同接合介面之析出成長形狀



(A)低遷移率之半整合性介面(low-mobility semicoherent interfaces)

(B)高遷移率之非整合性介面(high-mobility incoherent interfaces)